

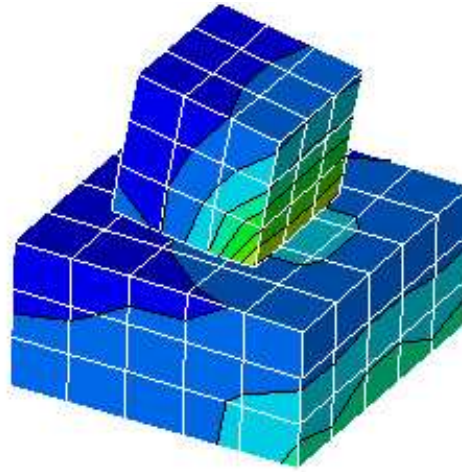
**Thèse de doctorat
spécialité : mécanique**

**DÉVELOPPEMENT D'ALGORITHMES ET D'UN CODE DE CALCUL
POUR LES PROBLÈMES DE L'IMPACT ET DU CHOC**

Benoît Magnain

28 novembre 2006

Laboratoire de Mécanique et d'Énergétique d'Évry
Université d'Évry - Val d'Essonne



- ❑ Simulation numérique des problèmes d'impact
- ❑ Deux grandes sources de difficultés :
 - ⇒ gestion du contact avec frottement
 - ⇒ intégration des équations du mouvement
- ❑ Objectifs :
 - ⇒ précision des résultats
 - ⇒ stabilité de la méthode
 - ⇒ performance (temps de calcul)

Couplage de deux méthodes originales

Traitement du contact :

méthode du bi-potentiel (DE SAXCÉ et FENG 1991 et 1998)

- ⇒ vérifie de manière exacte les conditions de contact
- ⇒ résolution dans un système réduit
- ⇒ réactions normales et tangentielles liées par le bi-potentiel de contact
- ⇒ méthode éprouvée en statique

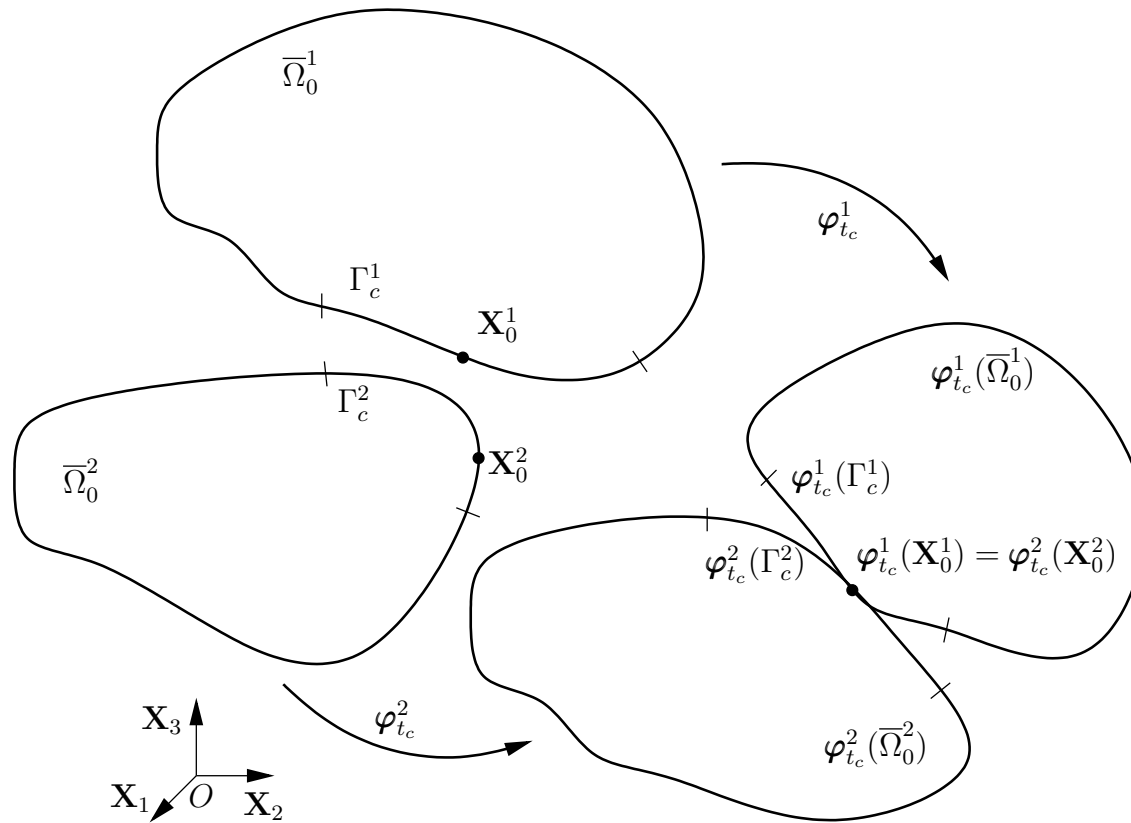
Intégration des équations du mouvement :

θ -méthode du premier ordre (JEAN 1999)

- ⇒ ne fait pas intervenir de termes d'accélération dans le calcul

- Introduction
- Contact avec frottement
- Schémas d'intégration
- Applications numériques
- Conclusions et perspectives

- Introduction
- Contact avec frottement :
 - définition du problème
 - méthode globale de résolution
 - loi de contact avec frottement
 - méthode du bi-potentiel
 - algorithme local de résolution
 - définition des zones de contact
- Schémas d'intégration
- Applications numériques
- Conclusions et perspectives



Cadre de l'étude :

- problèmes dynamiques
- grands déplacements et grandes déformations
- matériaux hyperélastiques
- contact avec frottement entre corps déformables
- problèmes 2D et 3D

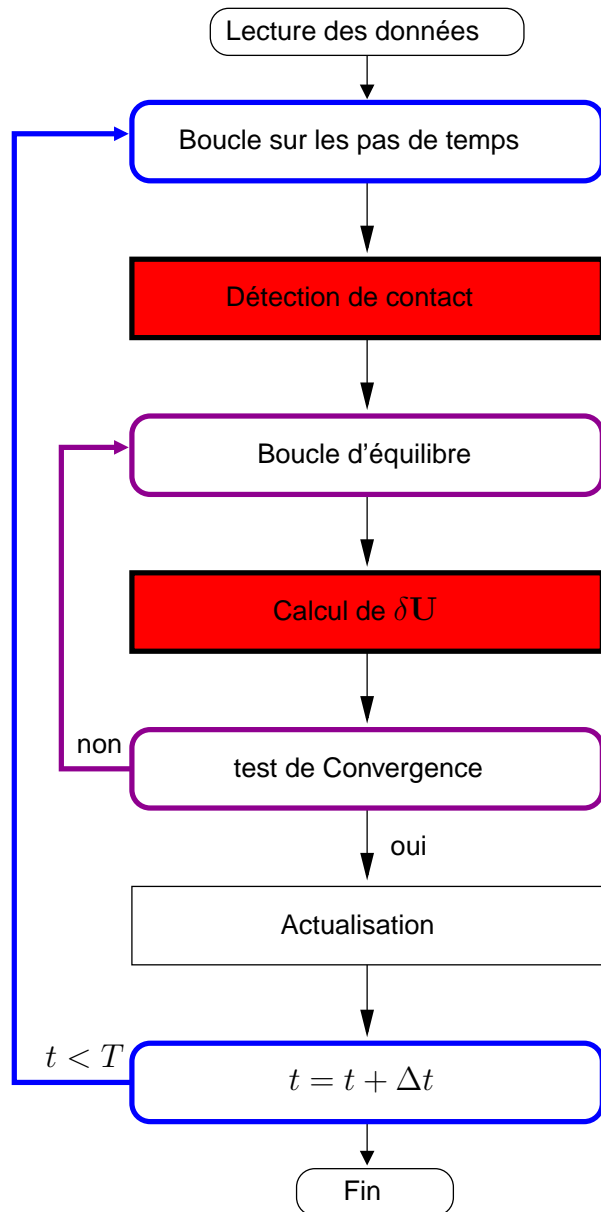
Équations d'équilibre discrétisées :

$$\boxed{\mathbf{M}\ddot{\mathbf{U}} + \mathbf{C}\dot{\mathbf{U}} + \mathbf{K}_T \delta\mathbf{U} = \mathbf{F}_{ext} - \mathbf{F}_{int} + \mathbf{R}_c} + \left\{ \begin{array}{l} \text{loi de comportement} \\ \text{conditions aux limites} \\ \text{conditions initiales} \\ \text{conditions de contact} \end{array} \right.$$

non-linéarité matérielle (hyperélasticité) \Rightarrow $\left\{ \begin{array}{l} \text{Kirchhoff-Saint Venant, Néo-Hookéen,} \\ \text{Blatz-Ko et Mooney-Rivlin} \end{array} \right.$

non-linéarité géométrique \Rightarrow formulation lagrangienne totale, \mathbf{E} , \mathbf{S}

non-linéarité de contact \Rightarrow méthode du bi-potentiel



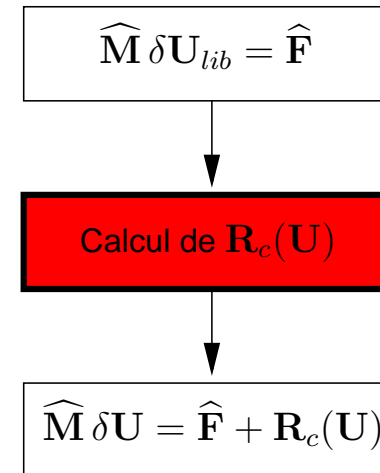
Après intégration temporelle :

$$\widehat{\mathbf{M}} \delta \mathbf{U} = \widehat{\mathbf{F}} + \mathbf{R}_c$$

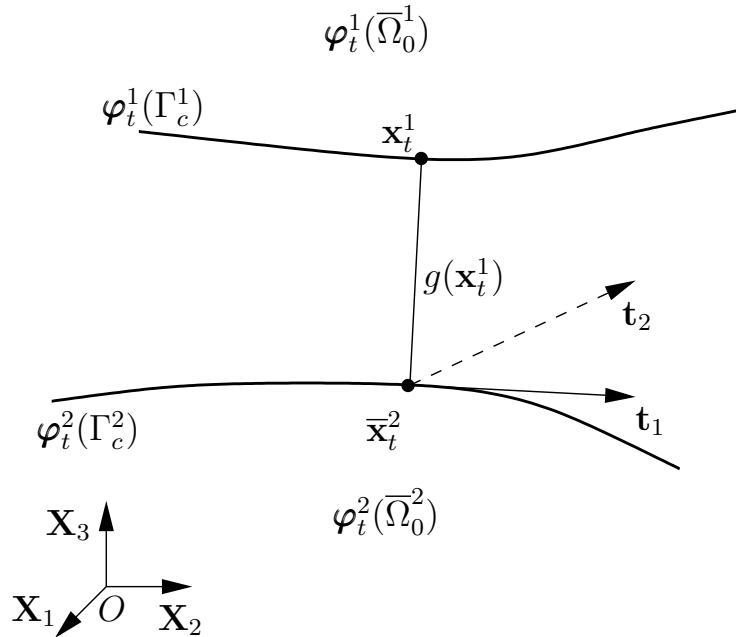
Décomposition du problème :

$$\begin{aligned} \delta \mathbf{U} &= \widehat{\mathbf{M}}^{-1} \widehat{\mathbf{F}} + \widehat{\mathbf{M}}^{-1} \mathbf{R}_c \\ &= \delta \mathbf{U}_{lib} + \delta \mathbf{U}_c \end{aligned}$$

Calcul de $\delta \mathbf{U}$:



Repère local du contact



Changement de base et condensation

$$\mathbf{R}_c^\alpha = \mathbf{H}^\alpha \mathbf{r}^\alpha$$

$$\delta \mathbf{u}_c^\alpha = (\mathbf{H}^\alpha)^T \delta \mathbf{U}_c^\alpha$$

$$\delta \mathbf{u}_c = (\mathbf{H} \widehat{\mathbf{M}}^{-1} \mathbf{H}^T) \mathbf{r} = \mathbf{W} \mathbf{r}$$

Calcul de \mathbf{R}_c

$$\delta \mathbf{U}_c = \widehat{\mathbf{M}}^{-1} \mathbf{R}_c$$

+ loi de contact

⇓

changement de repère

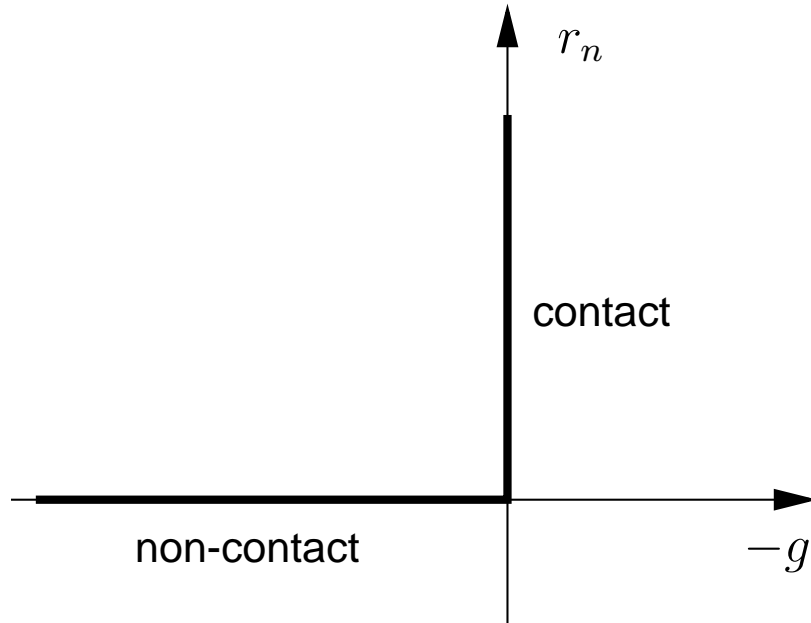
+ condensation

⇓

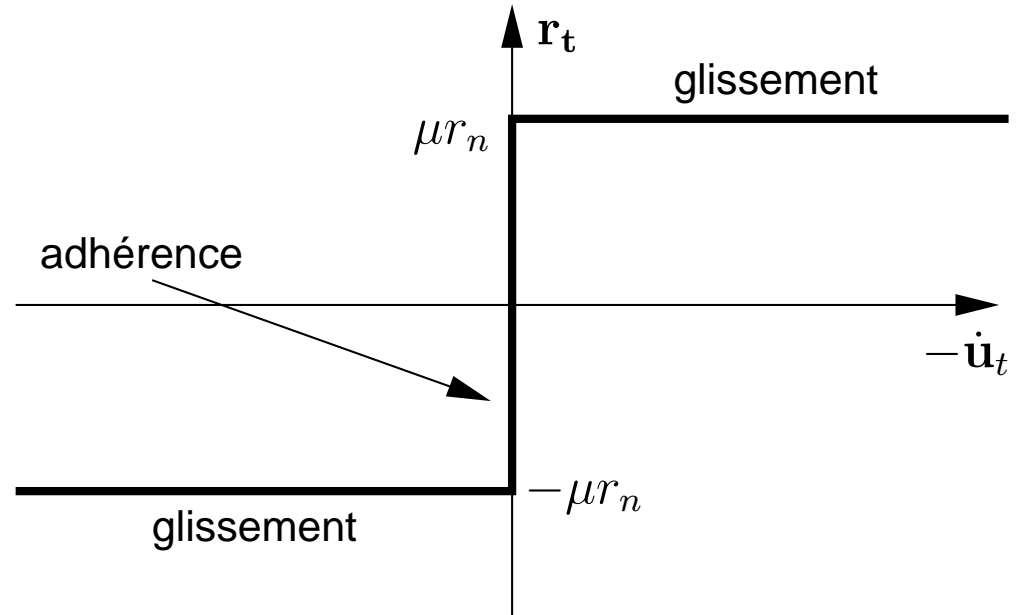
$$\delta \mathbf{u}_c = \mathbf{W} \mathbf{r}$$

+ loi de contact

Contact unilatéral



Loi de frottement



Conditions de Signorini :

- $g \geq 0$ non-pénétration
- $r_n \geq 0$ non-adhésion
- $g \cdot r_n = 0$ condition complémentaire

Modèle de Coulomb :

- Si $\|\mathbf{r}_t\| < \mu r_n$ alors $\dot{\mathbf{u}}_t = \mathbf{0}$
- Si $\|\mathbf{r}_t\| = \mu r_n$ alors
- $\exists \lambda > 0$ tel que $\dot{\mathbf{u}}_t = -\lambda \mathbf{r}_t$

bi-potentiel de contact :

$$b_c(-\dot{\mathbf{u}}, \mathbf{r}) = \bigcup_{\mathbb{R}_-}(-\dot{u}_n) + \bigcup_{K_\mu}(\mathbf{r}) + \mu r_n \|\dot{\mathbf{u}}_t\| \quad \begin{cases} \mathbb{R}_- =]-\infty, 0] \\ K_\mu = \{\mathbf{r} \in \mathbb{R}^3 \text{ tel que } \|\mathbf{r}_t\| - \mu r_n \leq 0\} \end{cases}$$



Théorème : Le couple **extremum de b_c** vérifie la loi de contact avec frottement



méthode du **lagrangien augmenté**



$$\dot{u}_n \geq 0, \mathbf{r} \in K_\mu \text{ et } \forall \mathbf{r}' \in K_\mu :$$

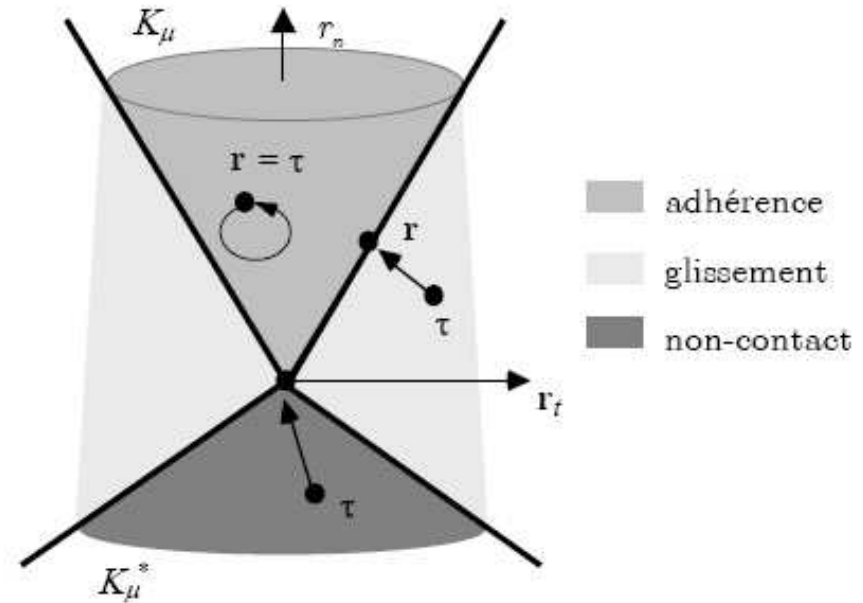
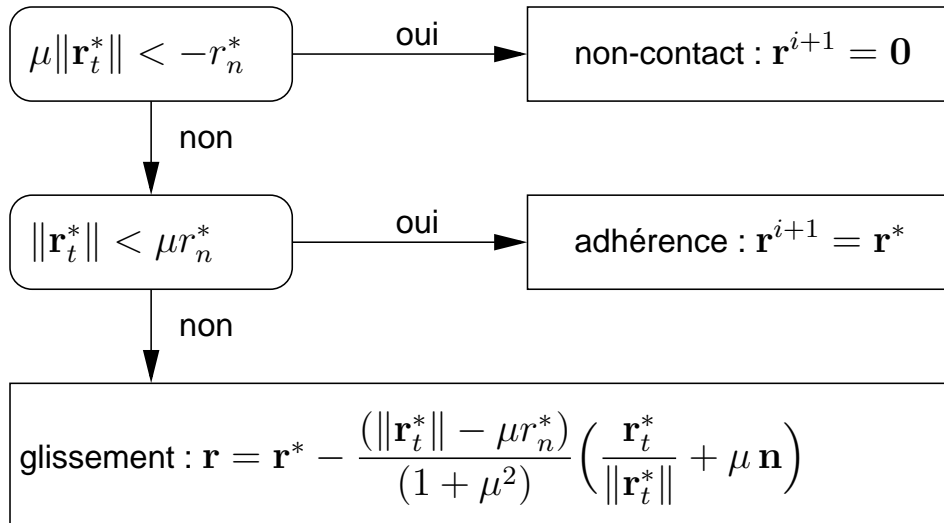
$$\rho\mu(r'_n - r_n)\|\dot{\mathbf{u}}_t\| + (\mathbf{r}' - (\mathbf{r} - \rho\dot{\mathbf{u}}))(\mathbf{r}' - \mathbf{r}) \geq 0$$

$$\mathbf{r} = \text{proj}(\mathbf{r}^*, K_\mu) \quad \text{où} \quad \mathbf{r}^* = \mathbf{r} - \varrho(\dot{\mathbf{u}}_t + (\dot{u}_n + \mu\|\dot{\mathbf{u}}_t\|)\mathbf{n})$$



Algorithme d'Uzawa :

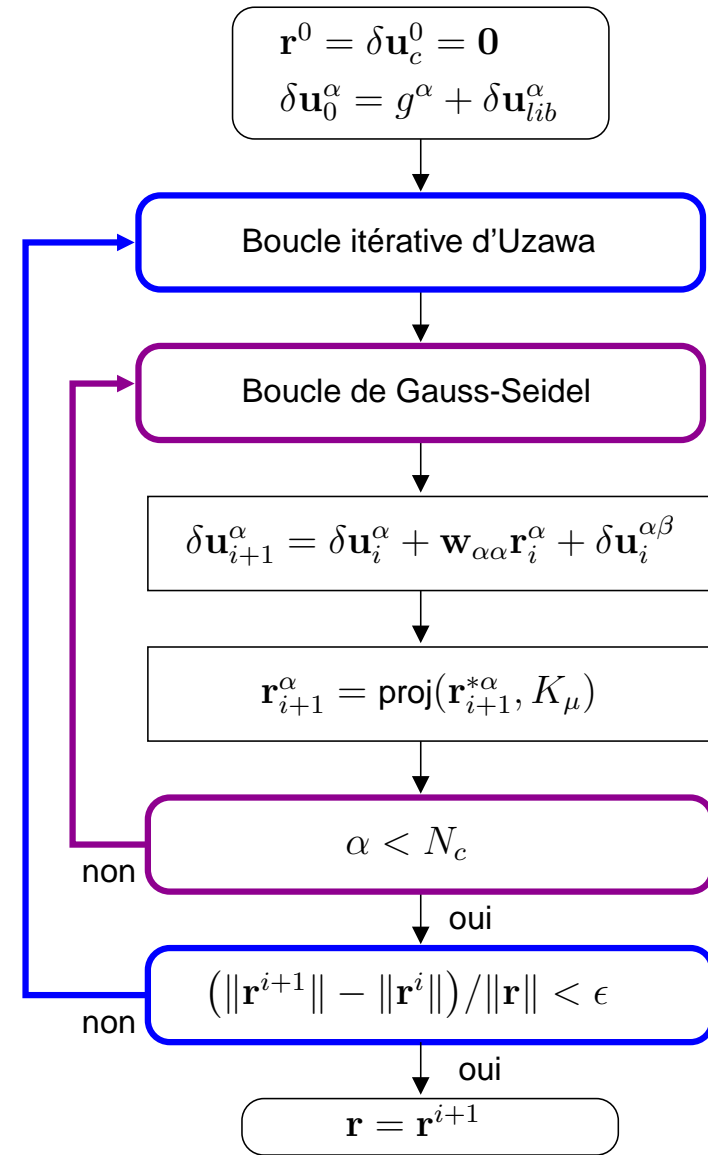
$$\begin{cases} \text{Prédiction } \mathbf{r}^{*i+1} = \mathbf{r}^i - \varrho^i(\dot{\mathbf{u}}_t^i + (\dot{u}_n^i + \mu\|\dot{\mathbf{u}}_t^i\|)\mathbf{n}) \\ \text{Correction } \mathbf{r}^{i+1} = \text{proj}(\mathbf{r}^{*i+1}, K_\mu) \end{cases}$$

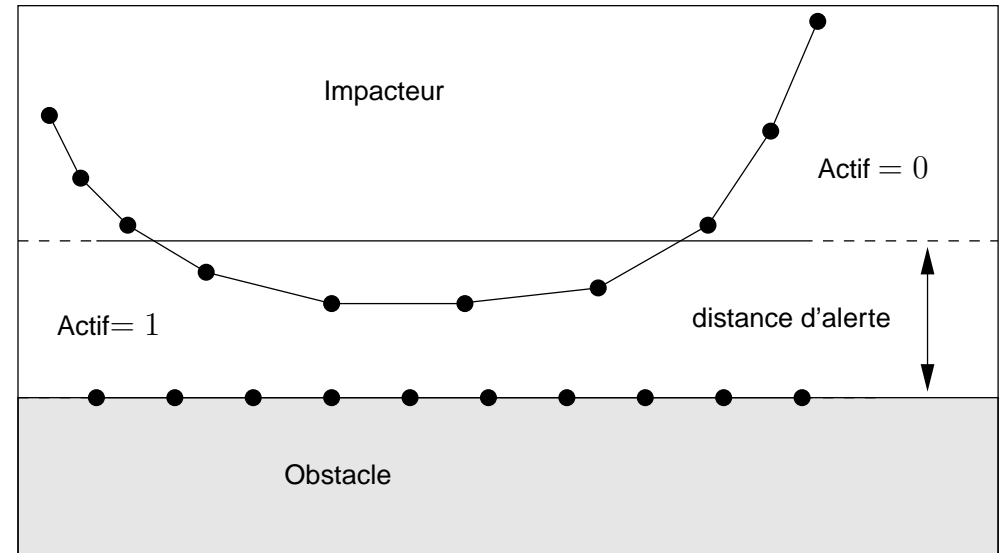
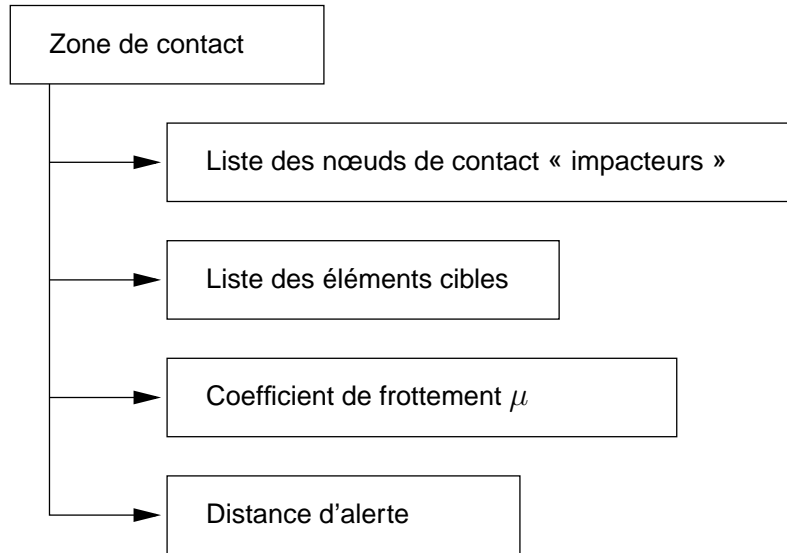


$$\begin{aligned} \delta \mathbf{u}_c &= \mathbf{W} \mathbf{r} \\ + \text{loi de contact} \\ \Downarrow \\ \delta \mathbf{u}_c &= \mathbf{W} \mathbf{r} \\ \mathbf{r} &= \text{proj}(\mathbf{r}^*, K_\mu) \end{aligned}$$

Gauss-Seidel par bloc

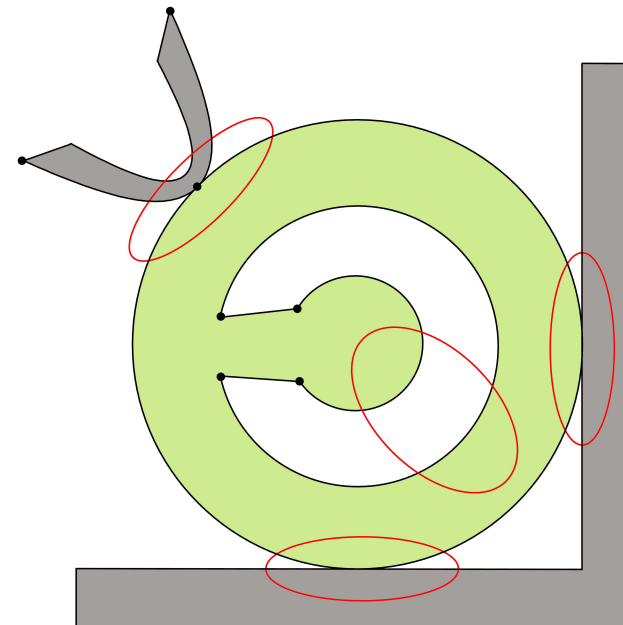
problème non-linéaire de $(6 \times N_c)$ équations
 \Downarrow
 N_c sous-problèmes de 6 équations





Type de traitement :

- problème 2D : nœud-segment
- problème 3D : nœud-facette



- Introduction

- Contact avec frottement

- Schémas d'intégration :
 - problématique
 - schéma classique de Newmark
 - schéma adapté aux problèmes d'impact

- Applications numériques

- Conclusions et perspectives

NEWTON-RAPHSON

$$\mathbf{M}\ddot{\mathbf{U}}_{t+\Delta t}^{i+1} + \mathbf{C}\dot{\mathbf{U}}_{t+\Delta t}^{i+1} + (\mathbf{K}_T)_{t+\Delta t}^i \delta\mathbf{U}_{t+\Delta t}^{i+1} = (\mathbf{F}_{ext})_{t+\Delta t} - (\mathbf{F}_{int})_{t+\Delta t}^i + (\mathbf{R}_c)_{t+\Delta t}^{i+1}$$

$$\Delta\mathbf{U}_{t+\Delta t}^{i+1} = \Delta\mathbf{U}_{t+\Delta t}^i + \delta\mathbf{U}_{t+\Delta t}^{i+1}$$

\Downarrow SCHÉMA D'INTÉGRATION \Downarrow

$$\widehat{\mathbf{M}}_{t+\Delta t}^{i+1} \delta\mathbf{U}_{t+\Delta t}^{i+1} = \widehat{\mathbf{F}}_{t+\Delta t}^{i+1} + (\mathbf{R}_c)_{t+\Delta t}^{i+1}$$

$$\Delta\mathbf{U}_{t+\Delta t}^{i+1} = \Delta\mathbf{U}_{t+\Delta t}^i + \delta\mathbf{U}_{t+\Delta t}^{i+1}$$

schéma explicite (différences centrées ...)

- dynamique rapide
- calcul de crash
- PAM-CRASH, RADIOSS

schéma implicite (Newmark, Houbold, HHT ...)

- vérifie l'équilibre à chaque pas de temps
- inconditionnellement stable sans contact
- ANSYS, ABAQUS, ...

Hypothèses de départ :

$$\begin{aligned} \dot{\mathbf{U}}_{t+\Delta t} &= \dot{\mathbf{U}}_t + \Delta t \left[(1 - \alpha) \ddot{\mathbf{U}}_t + \alpha \ddot{\mathbf{U}}_{t+\Delta t} \right] \\ \mathbf{U}_{t+\Delta t} &= \mathbf{U}_t + \Delta t \dot{\mathbf{U}}_t + (\Delta t)^2 \left[\left(\frac{1}{2} - \beta\right) \ddot{\mathbf{U}}_t + \beta \ddot{\mathbf{U}}_{t+\Delta t} \right] \end{aligned}$$

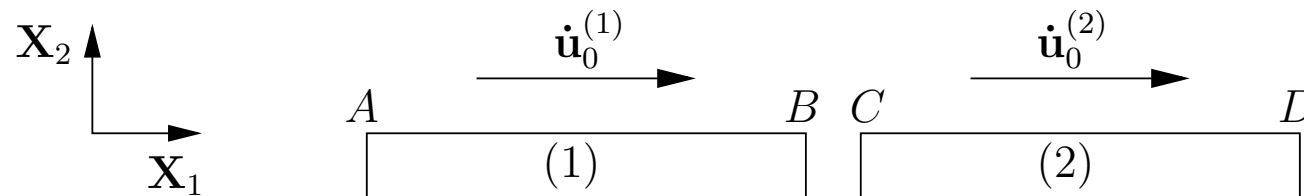
Inconditionnellement stable (sans contact) pour :

$$\alpha \geq 0,5 \quad \text{et} \quad \beta \geq (2\alpha + 1)^2 / 16$$

Couples de paramètres classiques :

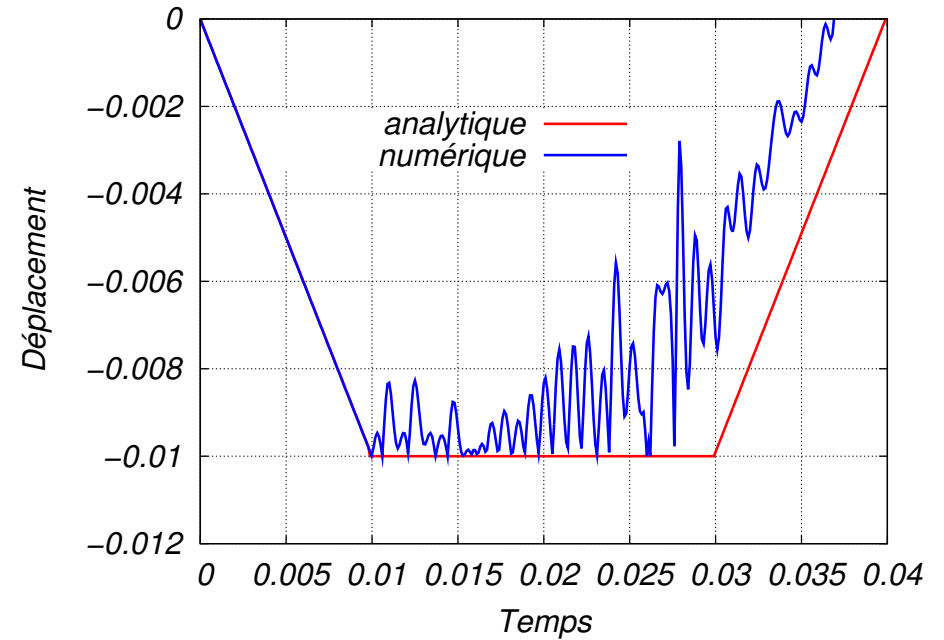
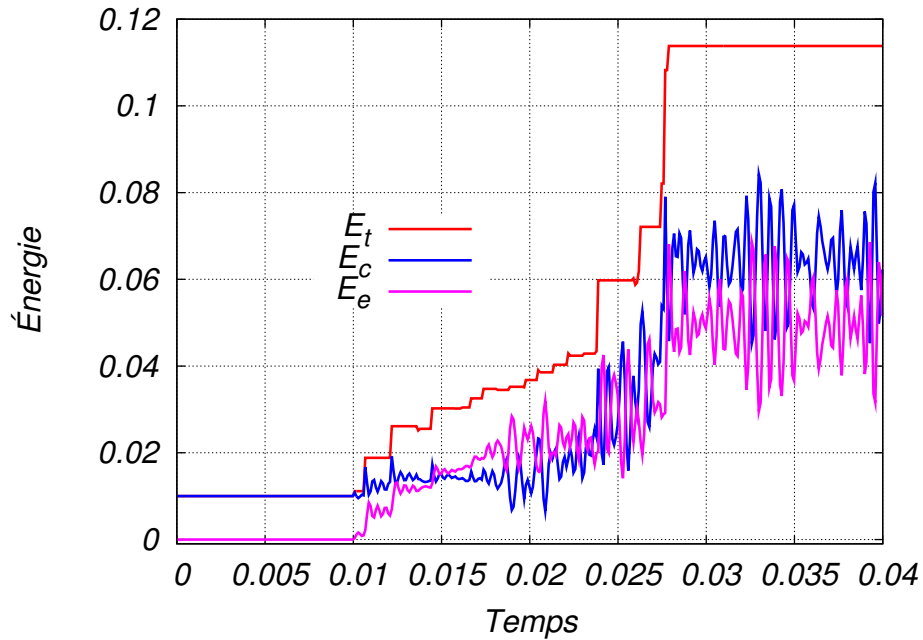
α	β	à l'intérieur de Δt
0,5	0,25	hypothèse de l'accélération constante (règle du trapèze)
0,5	$\frac{1}{6}$	hypothèse de l'accélération linéaire

Test 1 : impact longitudinal (Hu 1997)



type de matériau	Kirchhoff-Saint Venant
longueur	$L = 10$
module de Young	$E = 1000$
masse volumique	$\rho = 0,001$
vitesse initiale	$\dot{u}_0^{(1)} = -\dot{u}_0^{(2)} = (1, 0; 0, 0)$
durée totale	$T = 0,04$
pas de temps	$\Delta t = 10^{-5}$
maillage	20 éléments $Q4$ par barre

Impact longitudinal ($\alpha = 0,5$ et $\beta = 0,25$)

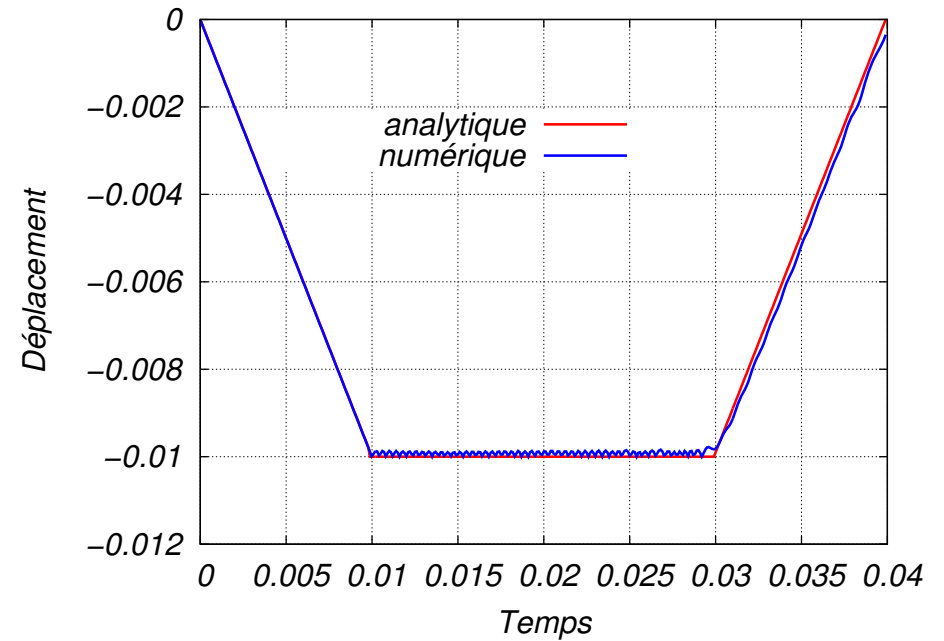
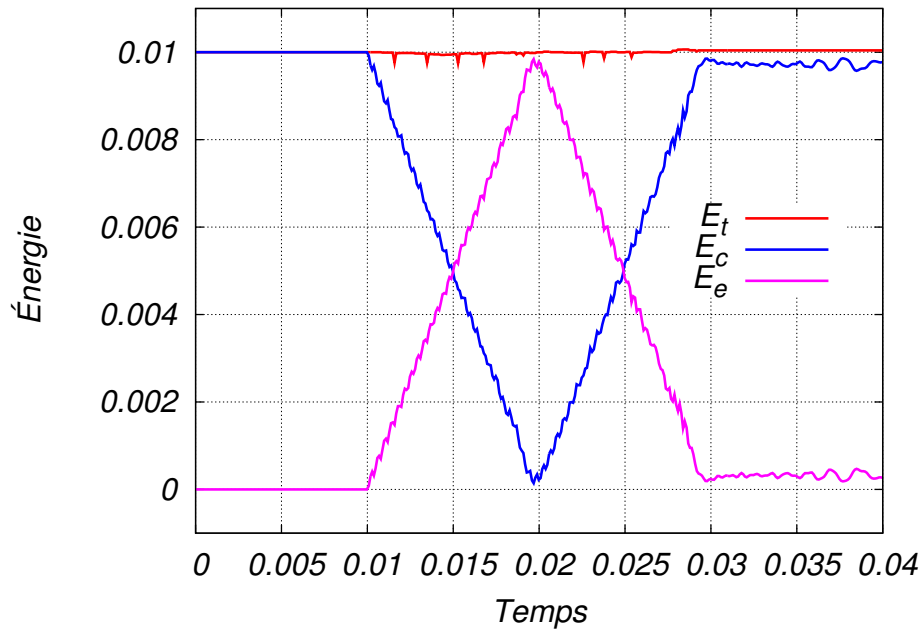


accroissement anormal de l'énergie totale

oscillations du point de contact

divergence du calcul

Impact longitudinal ($\alpha = 0,5$ et $\beta = 0,5$)

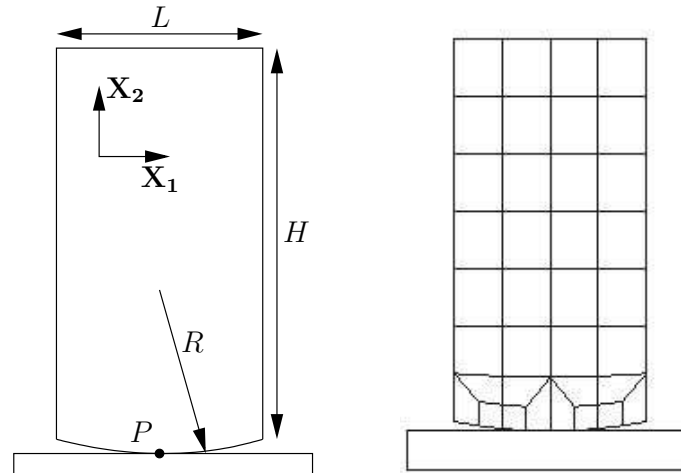


introduction de dissipation numérique : stabilisation du calcul

réduction des oscillations du point de contact

amélioration global du résultat

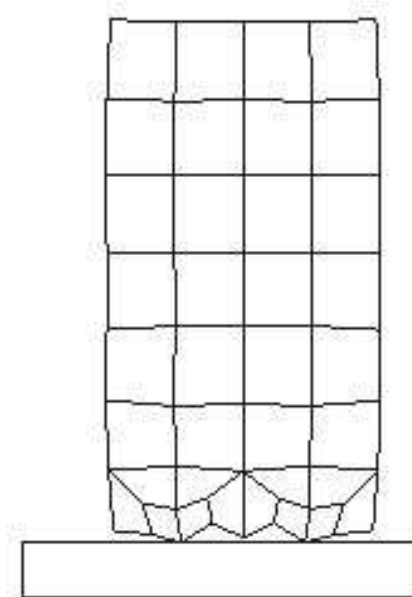
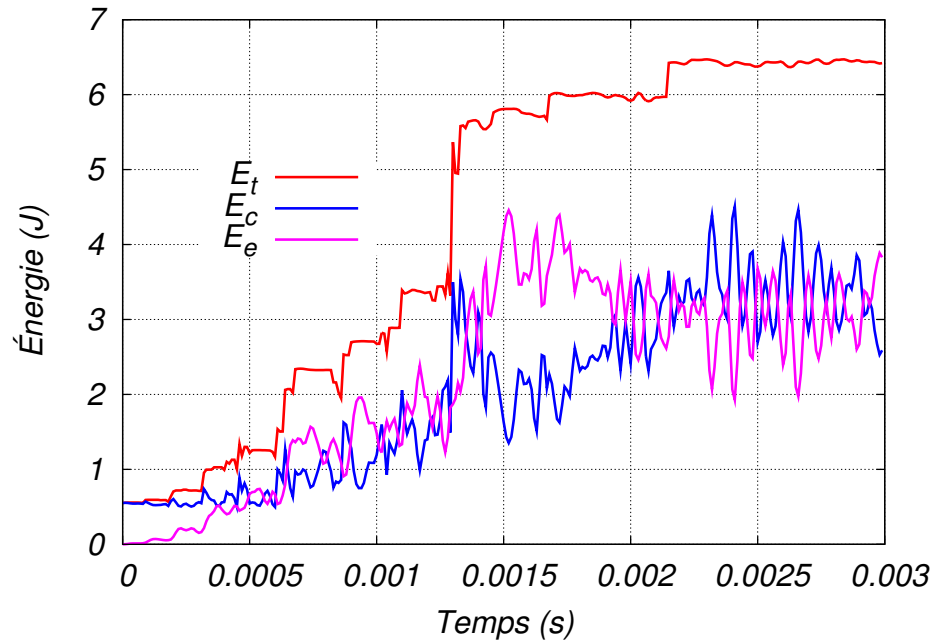
Test 2 : impact oblique (Kwak 1992)



type de matériau	Kirchhoff-Saint Venant
module de Young	$E = 10^7 \text{ Pa}$
masse volumique	$\rho = 1000 \text{ kg/m}^3$
vitesse initiale	$\dot{u}_0 = (3, 0; -5, 0)$
durée totale	$T = 0,003 \text{ s}$
pas de temps	$\Delta t = 10^{-5} \text{ s}$

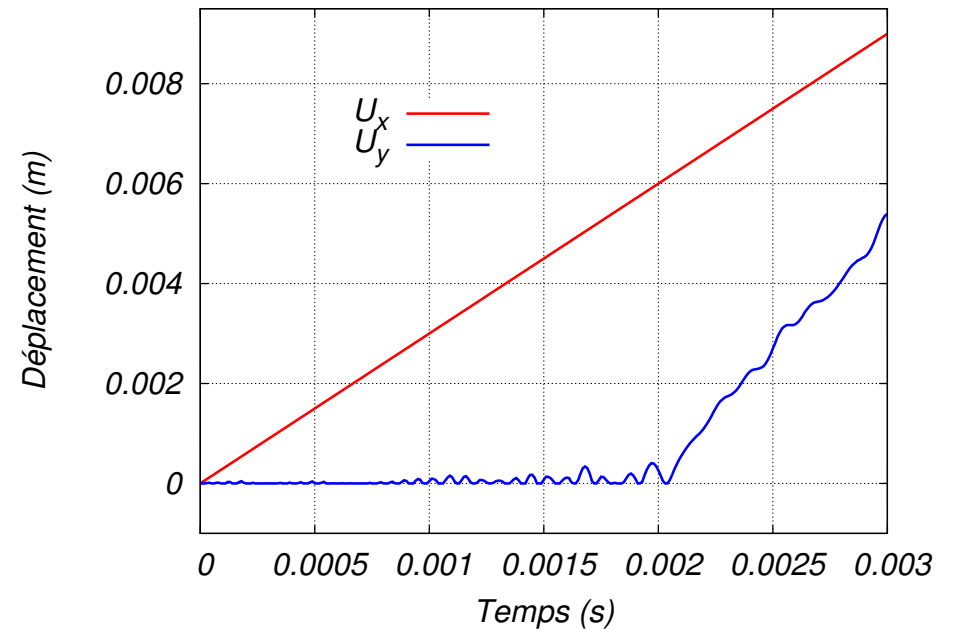
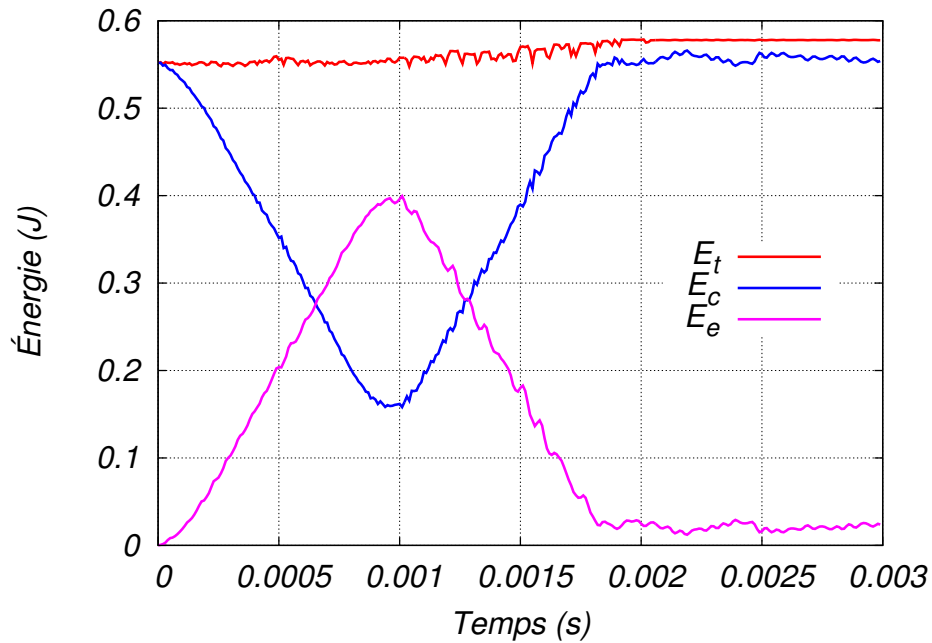
Impact oblique ($\alpha = 0,5$ et $\beta = 0,25$)

Animation



Impact oblique ($\alpha = 0,5$ et $\beta = 0,5$)

Animation



dissipation numérique insuffisante
oscillations résiduelles du point P

Spécificité des chocs :

vitesse discontinue au moment du choc

Idée directrice :

stabiliser le calcul en maîtrisant l'énergie mécanique

axes de recherche :

- ⇒ introduire de la dissipation numérique
- ⇒ introduire un terme correctif (Laursen, Armero)
- ⇒ adapter des schémas différents (Hauret, Barboteu, Jean)



schéma du premier ordre (θ -méthode, Jean et Simo)

Formulation intégrale :

$$\int_t^{t+\Delta t} \mathbf{M} d\dot{\mathbf{U}} + \int_t^{t+\Delta t} \mathbf{C}\dot{\mathbf{U}} dt + \int_t^{t+\Delta t} \mathbf{F}_{int} dt = \int_t^{t+\Delta t} \mathbf{F}_{ext} dt + \int_t^{t+\Delta t} \mathbf{R}_c dt$$

θ -méthode du premier ordre :

$$\frac{\mathbf{U}_{t+\Delta t} - \mathbf{U}_t}{\Delta t} = (1 - \theta) \dot{\mathbf{U}}_t + \theta \dot{\mathbf{U}}_{t+\Delta t} \quad \text{où } 0 \leq \theta \leq 1$$

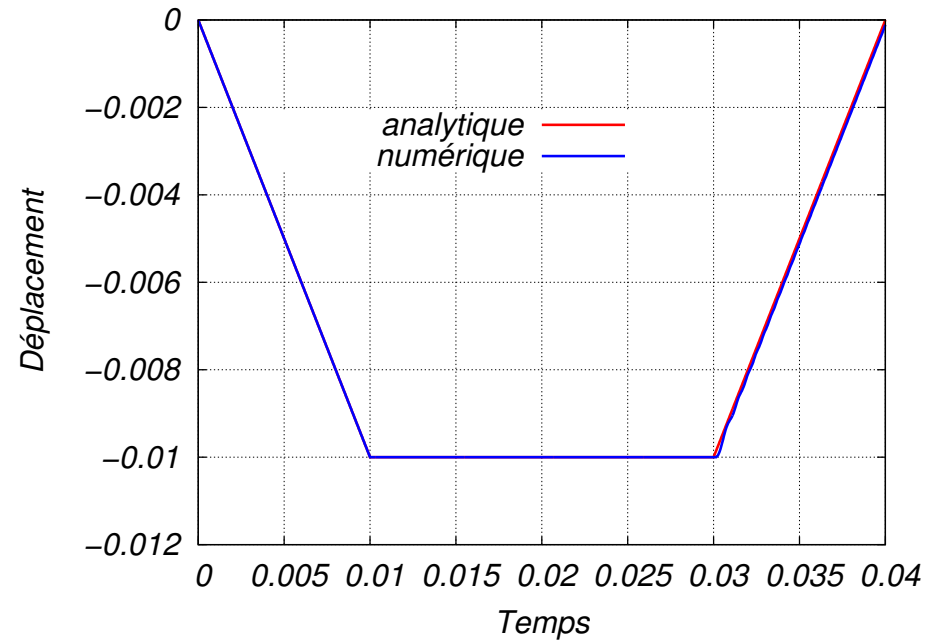
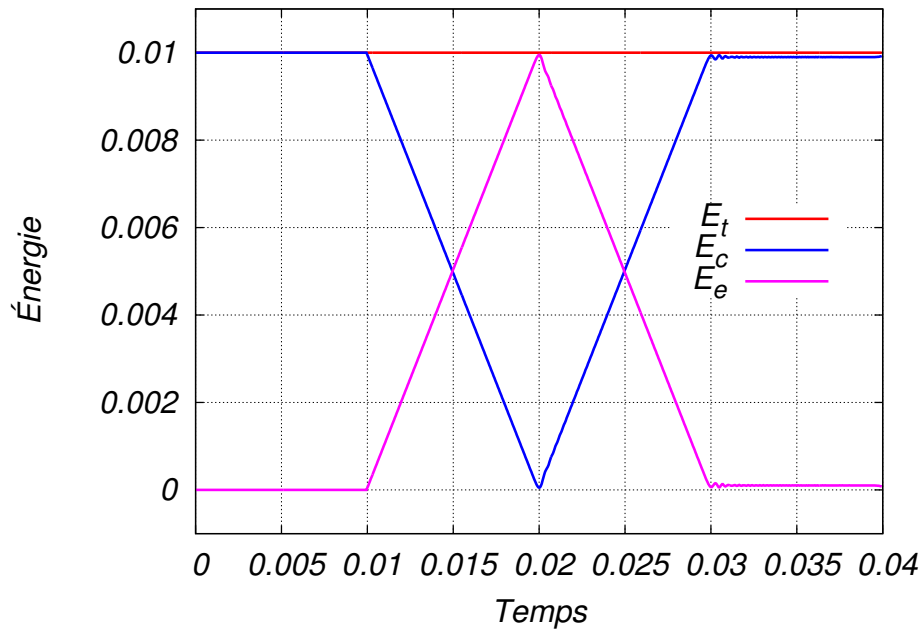
Approximations appliquées :

$$\square \int_t^{t+\Delta t} \mathbf{M} d\dot{\mathbf{U}} = \mathbf{M} (\dot{\mathbf{U}}_{t+\Delta t} - \dot{\mathbf{U}}_t)$$

$$\square \int_t^{t+\Delta t} \mathbf{F} dt = \Delta t ((1 - \xi) \mathbf{F}_t + \xi \mathbf{F}_{t+\Delta t}) \quad \text{où } 0 \leq \xi \leq 1$$

$$\square \int_t^{t+\Delta t} \mathbf{R}_c dt = \Delta t (\mathbf{R}_c)_{t+\Delta t}$$

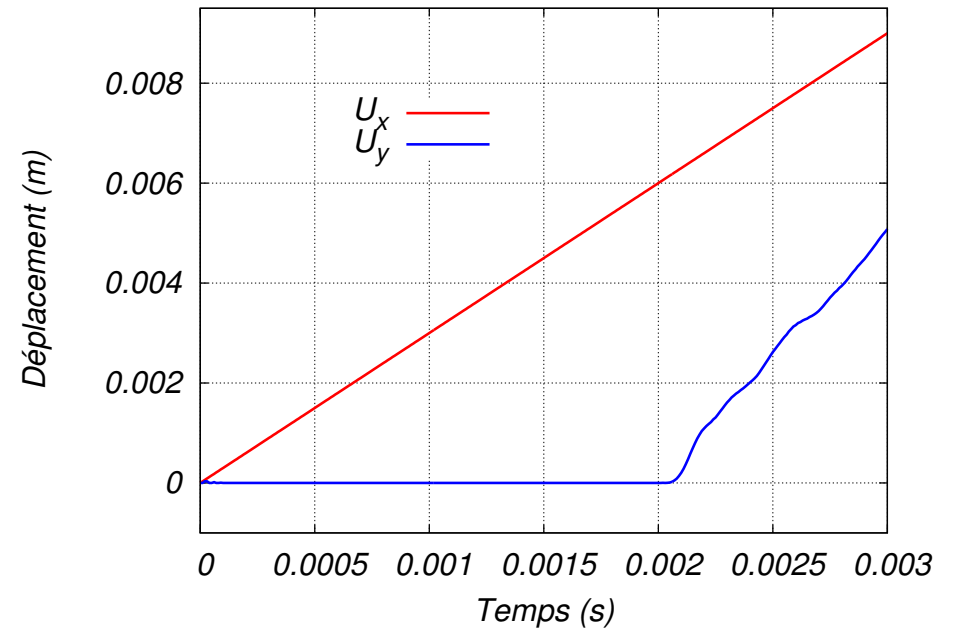
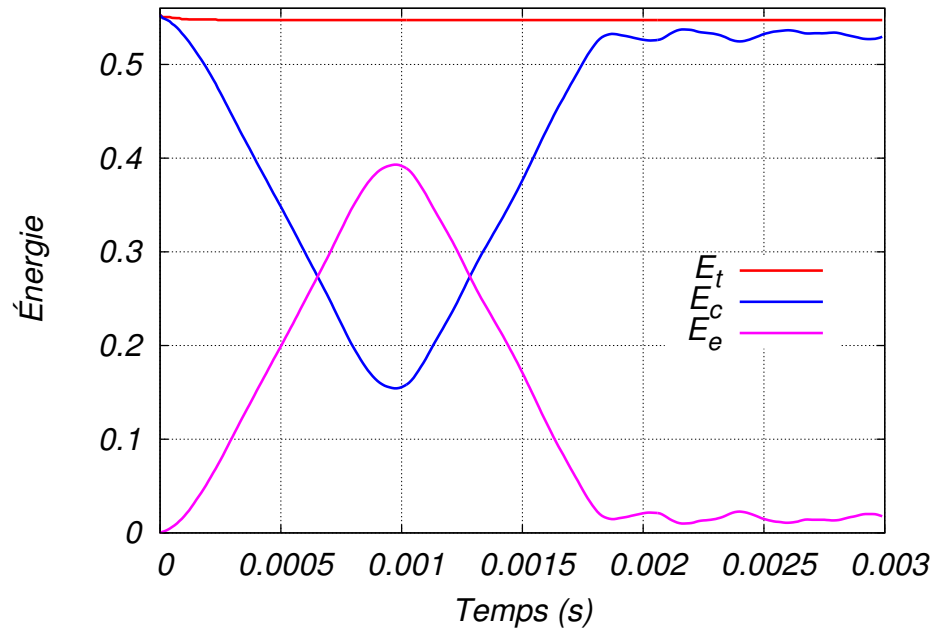
Impact longitudinal (1/2)



bonne corrélation du déplacement
conservation de l'énergie mécanique

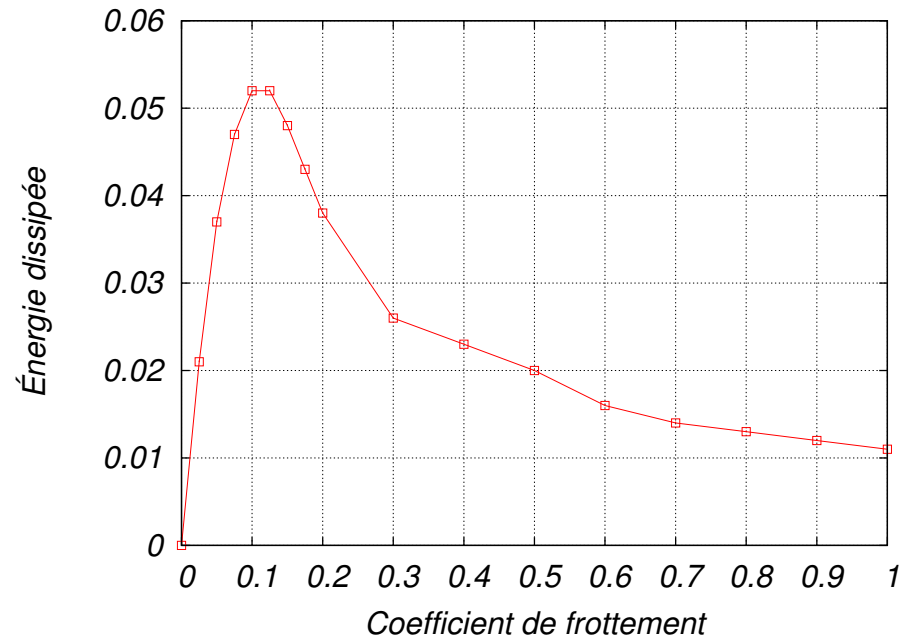
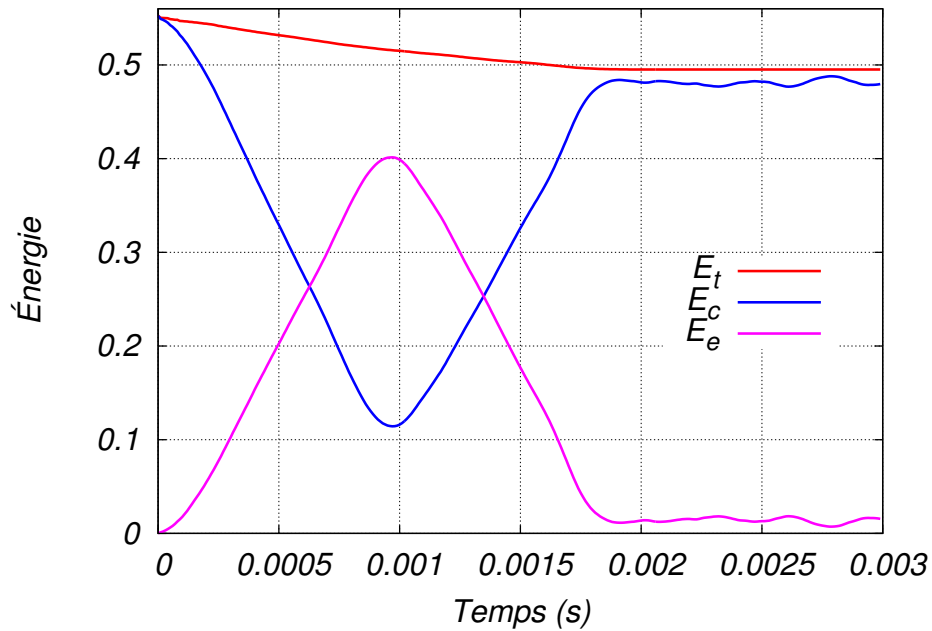
Impact oblique sans frottement

Animation



Impact oblique avec frottement ($\mu = 0, 2$)

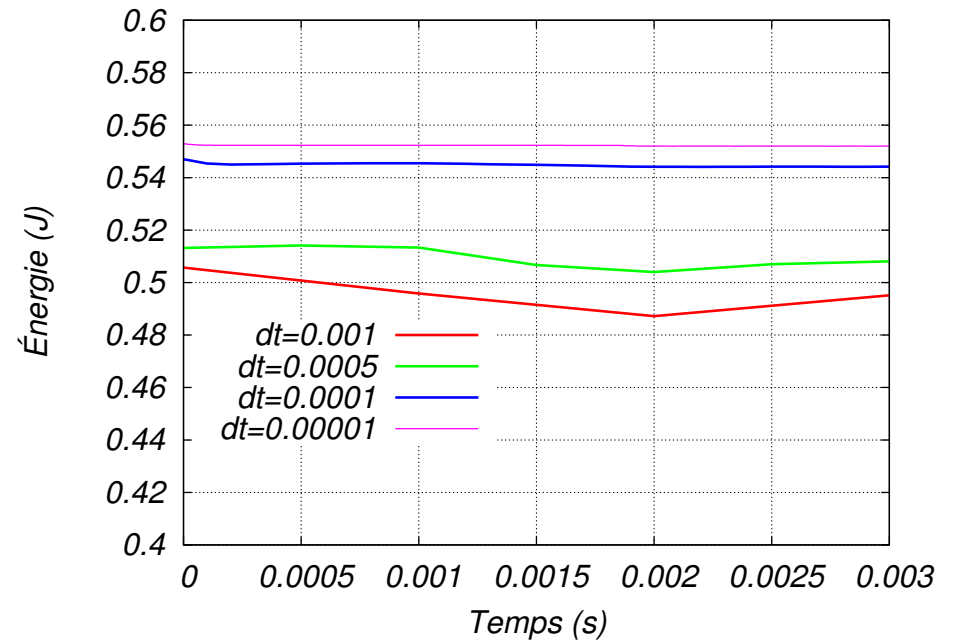
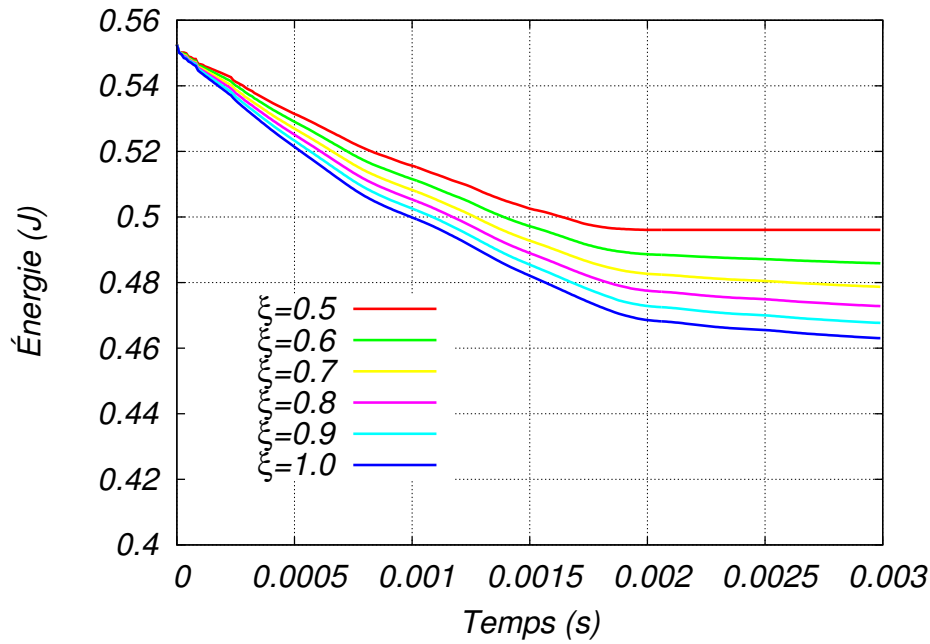
Animation



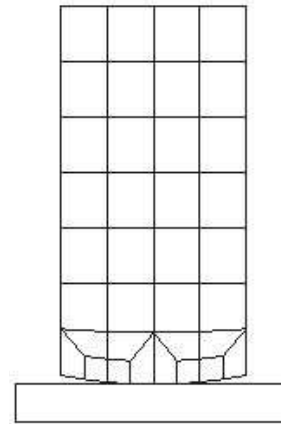
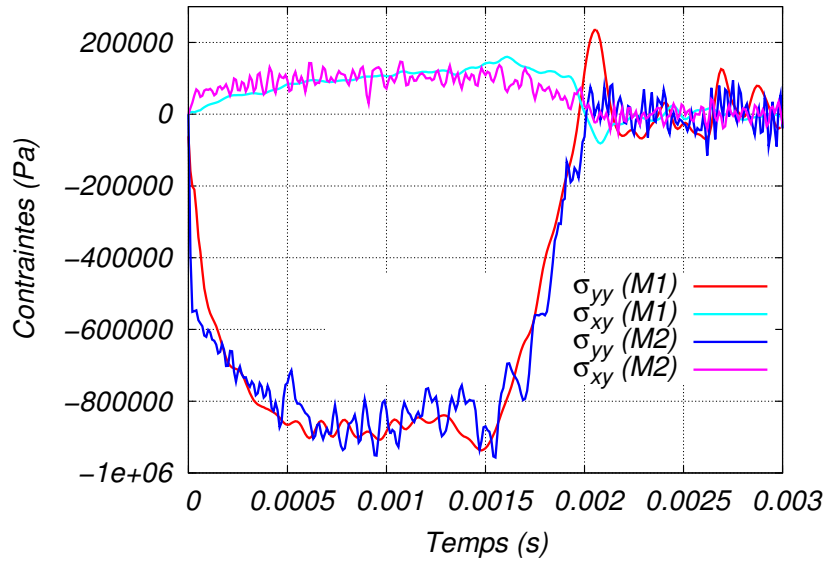
détermination quantitative de l'énergie dissipée

influence de μ

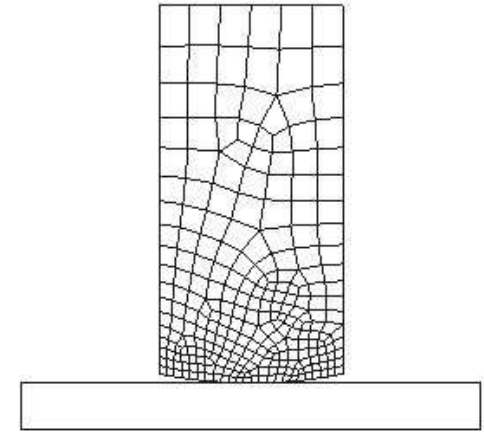
Influence des paramètres du schéma



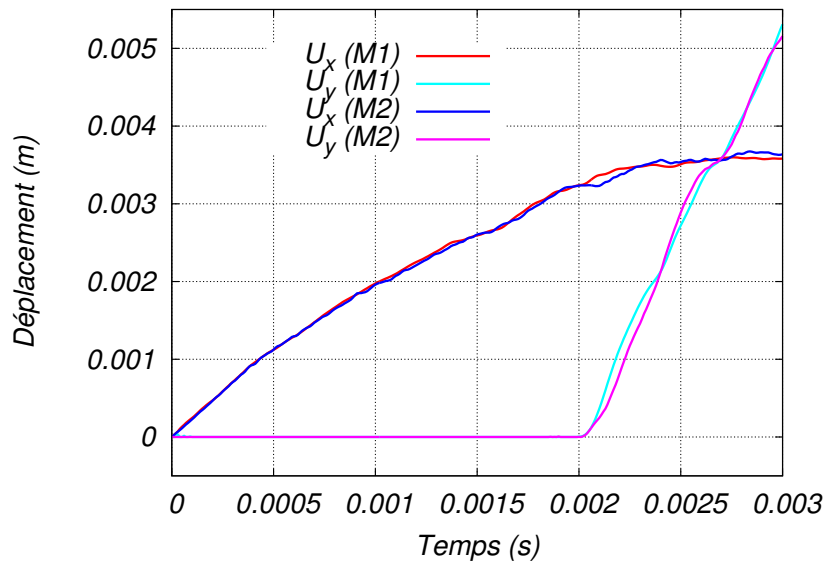
$\theta = \xi = 0,5$ couple "optimal"



M1



M2



maillage M1	37 éléments
maillage M2	259 éléments

- Introduction

- Contact avec frottement

- Schémas d'intégration

- Applications numériques :
 - présentation de FER/Impact
 - impact déformable-rigide en 2D
 - impact déformable-déformable en 3D
 - application aux problèmes quasi-statiques

- Conclusions et perspectives

FER/Impact

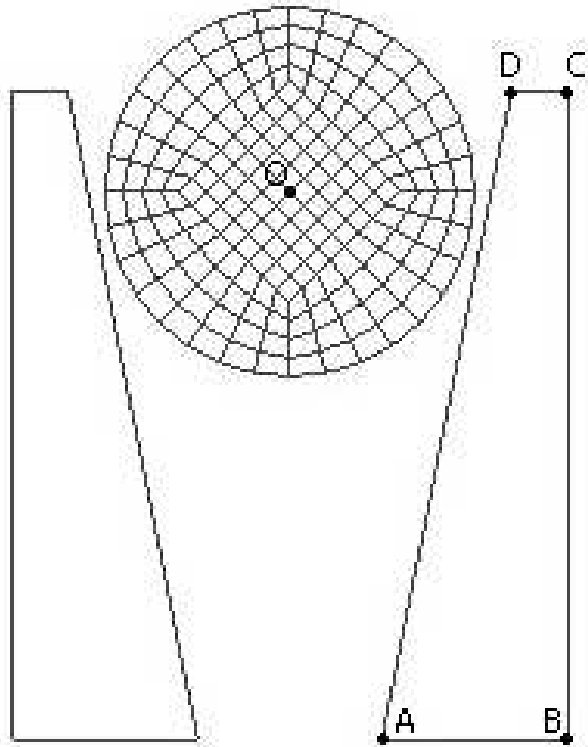
Description : code de calcul par **élément finis** pour les problèmes d'**impact** et de **choc**

Domaines d'application :

- grandes déformations** (formulation lagrangienne totale)
- matériau **hyperélastique** (Kirchhoff-Saint Venant, Néo-Hookéen, Mooney-Rivlin et Baltz-Ko)
- problème **2D** (T3 et Q4) et **3D** (T4 et H8)

Programmation et méthodes numériques :

- C++** orientée objet (environ 4000 lignes)
- stockage des matrices type "**ligne de ciel**"
- résolution système linéaire : **pivot de Gauss**



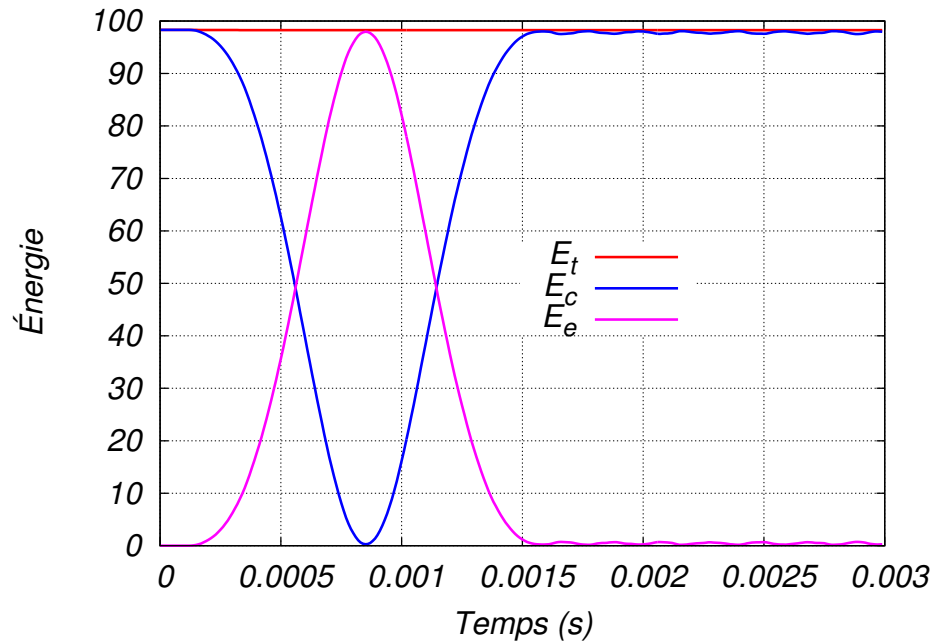
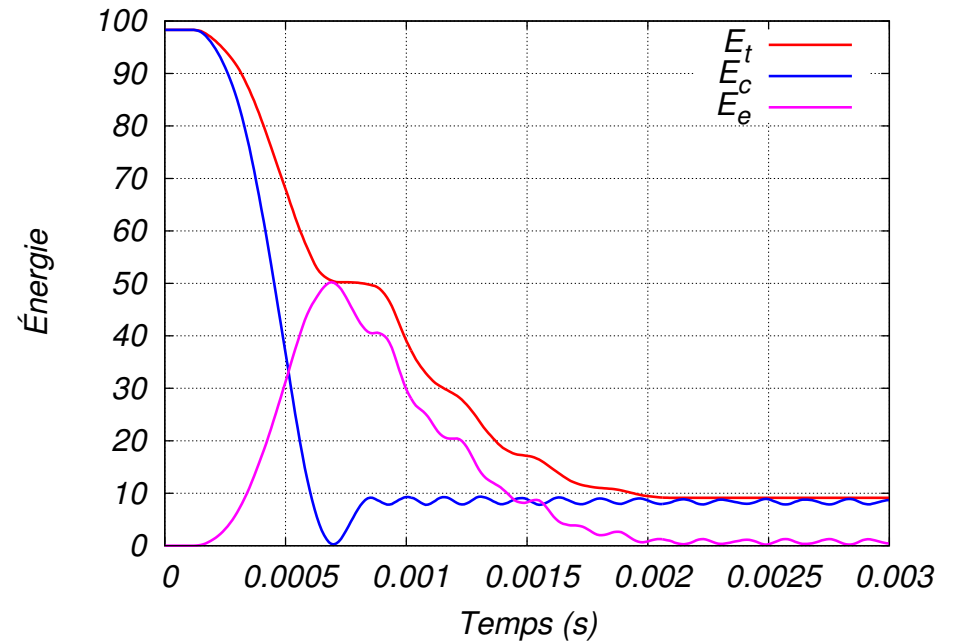
type de matériau	Blatz-Ko
module de cisaillement	$G = 3 \text{ MPa}$
masse volumique	$\rho = 700 \text{ kg/m}^3$
vitesse initiale	$\dot{u}_0 = -30,0 \text{ m/s}$
durée totale	$T = 3 \cdot 10^{-3} \text{ s}$
pas de temps	$\Delta t = 10^{-5} \text{ s}$
paramètres de l'algorithme	$\xi = \theta = 0,5$

Modèle de Blatz-Ko :

$$W = \frac{G}{2} \left(\frac{I_1}{I_2} + 2\sqrt{I_3} - 5 \right)$$

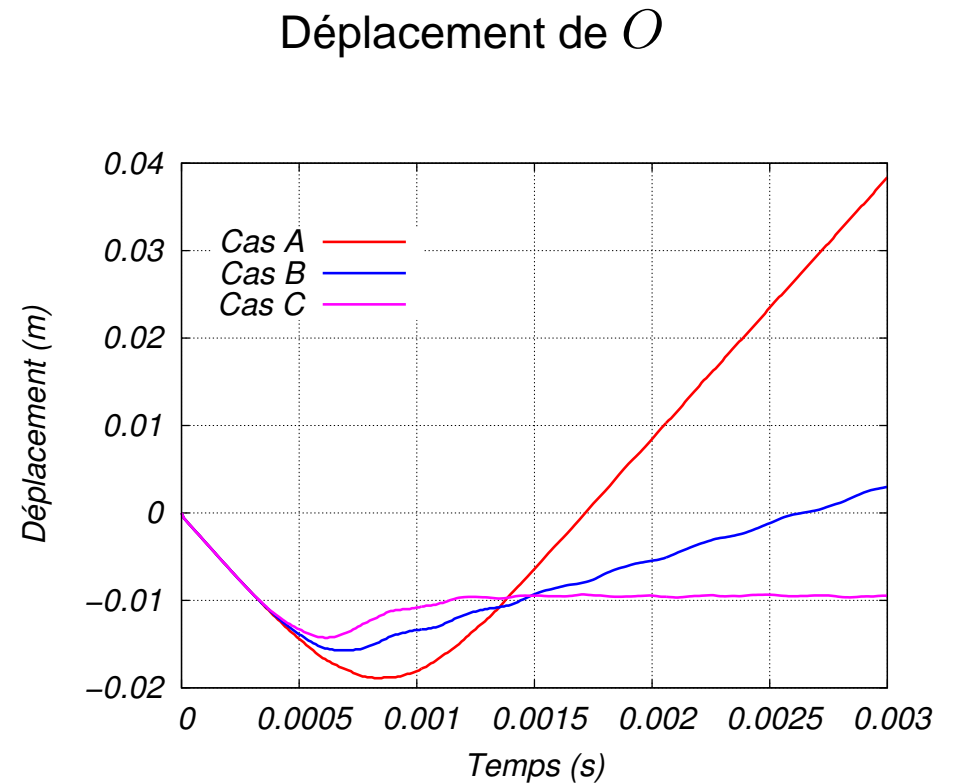
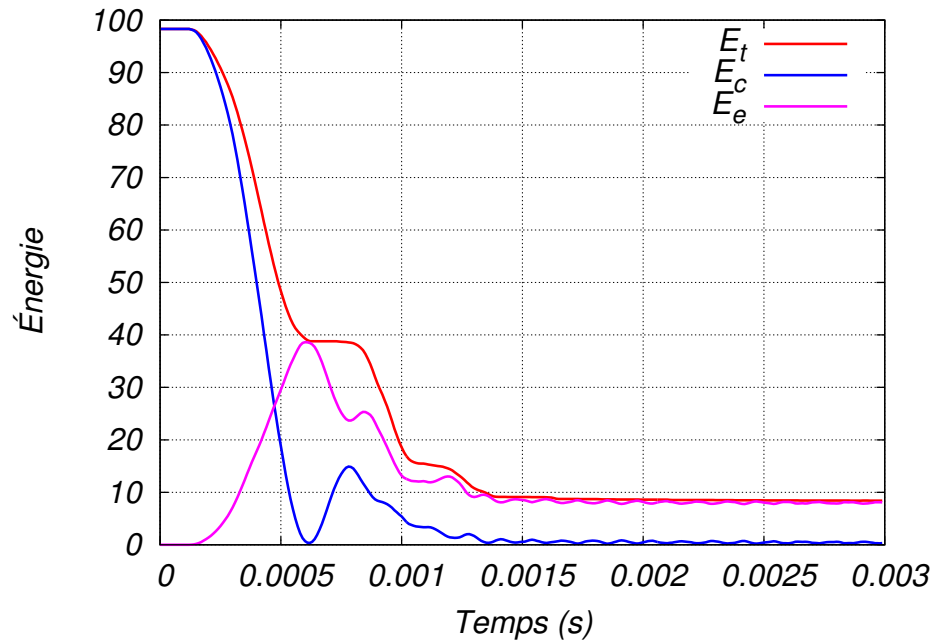
cas A	$\mu = 0,0$
cas B	$\mu = 0,2$
cas C	$\mu = 0,4$

Évolution de l'énergie mécanique

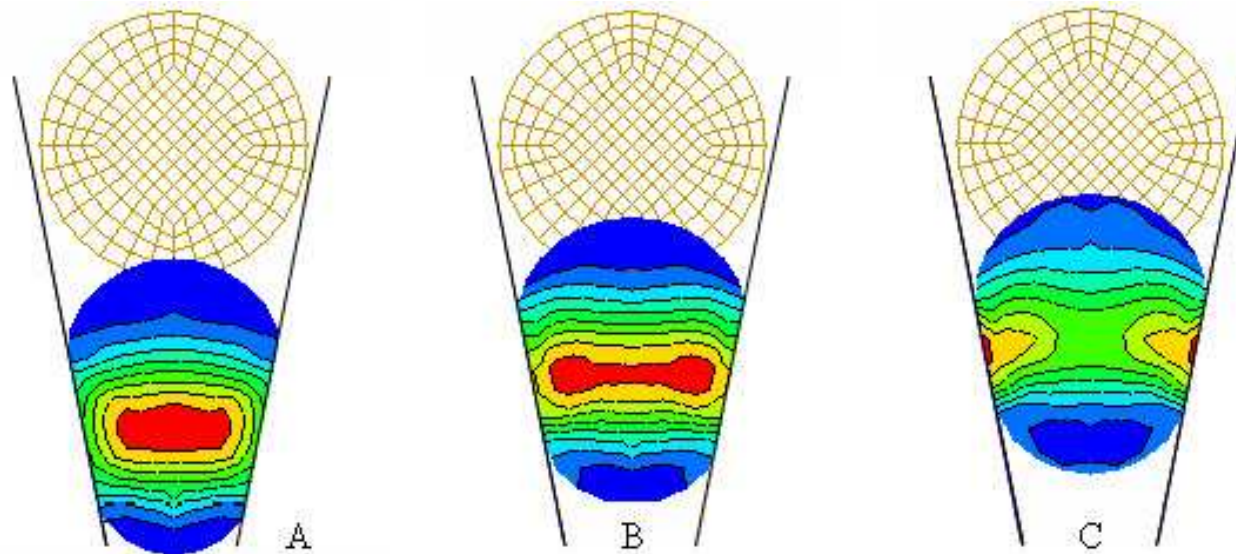
 $\mu = 0,0$  $\mu = 0,2$ 

Évolution de l'énergie et déplacement vertical

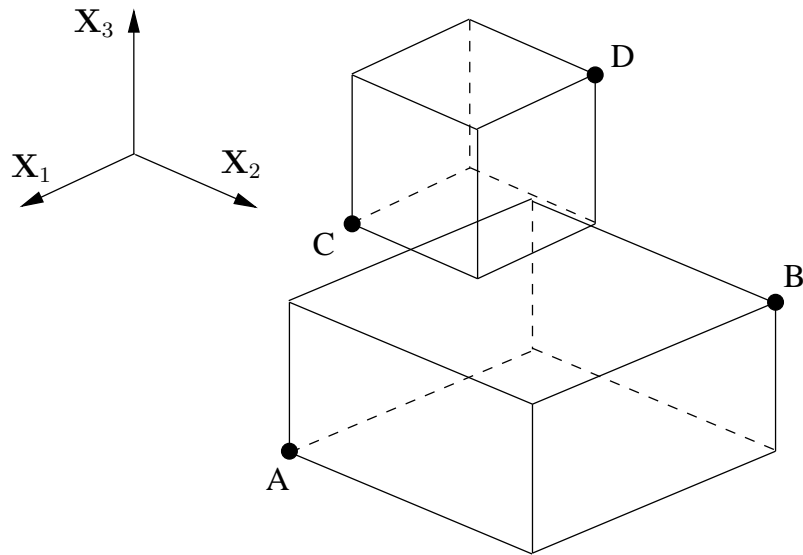
$$\mu = 0,4$$



Influence des forces de frottement



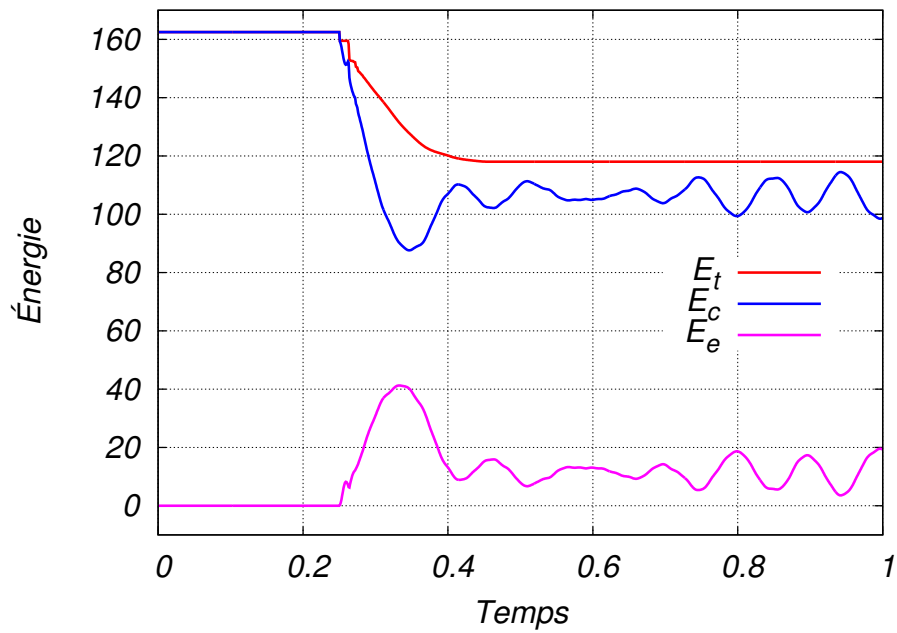
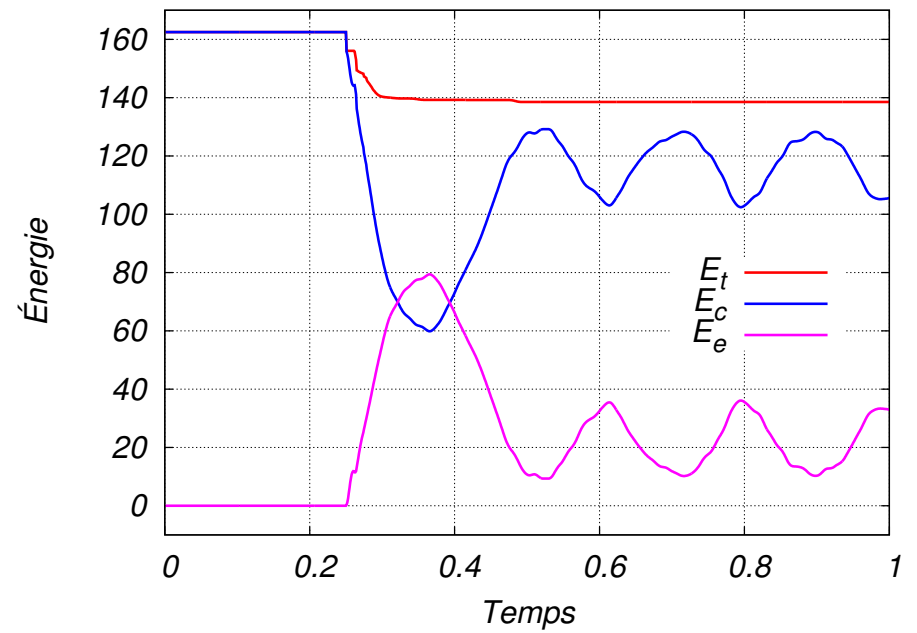
Cas	temps (ms)	σ_{max} (MPa)	temps CPU (s)
A : $\mu=0,0$	0,87	8,192	62
B : $\mu=0,2$	0,70	4,523	77
C : $\mu=0,4$	0,61	4,396	83



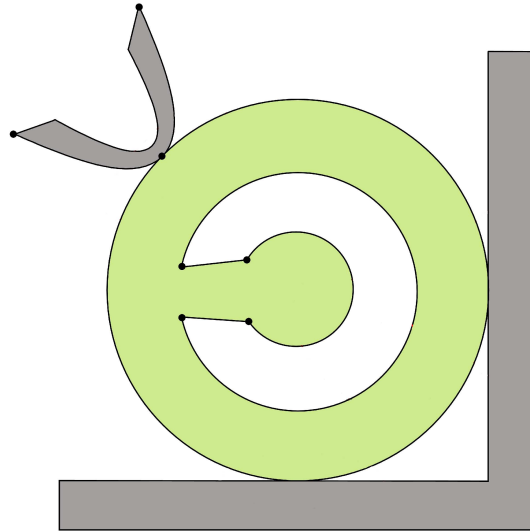
cas 1	$\mu = 0,2$
cas 2	$\mu = 0,8$

type de matériau	Kirschhoff-Saint Venant
module de Young	$E = 36000 \text{ MPa}$
coefficient de Poisson	$\nu = 0,2$
masse volumique	$\rho = 100 \text{ kg/m}^3$
vitesse initiale	$(0, 0; 1, 5; -1, 0)$
durée totale	$T = 3 \cdot 10^{-3} \text{ s}$
pas de temps	$\Delta t = 10^{-5} \text{ s}$
paramètres de l'algorithme	$\xi = \theta = 0,5$

Dissipation d'énergie par frottement

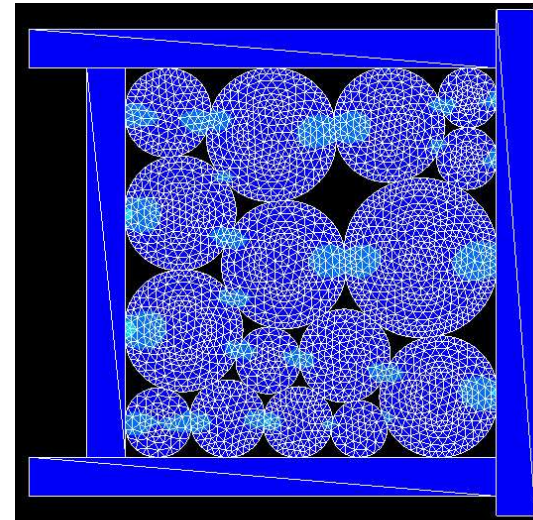
 $\mu = 0,2$ **Animation** $\mu = 0,8$ **Animation**

Auto-contact



Animation

Multi-corps déformables



Animation

- Introduction
- Contact avec frottement
- Schéma d'intégration
- Applications numériques
- Conclusions et perspectives

Extension de la méthode du **bi-potentiel** à l'étude des problèmes d'**impact** (code de calcul FER/Impact).

Conservation des propriétés de la méthode du bi-potentiel :

- aucune régularisation de lois de contact
- vérification exacte** des conditions de contact
- aucune modification du système global
- résolution efficace dans un **système réduit**

Utilisation d'un schéma d'intégration adapté :

- pas de terme d'accélération dans le calcul
- conservation quasi-parfaite** de l'énergie en l'absence de frottement
- étude quantitative** de l'énergie dissipée

Mise en évidence d'une relation non-monotone entre μ et la quantité d'énergie dissipée

Développement du domaine d'application

prise en compte du contact :

- autre modèle de frottement (frottement orthotrope, coefficient de frottement variable ...)
- méthode de résolution (confrontation de résultats)

schémas d'intégration :

- étude théorique du schéma proposé
- implanter et tester de nouveaux schémas

comportement matériau non-réversible :

- plasticité, usure, rupture

couplage frottement/thermique :

- lier la dissipation d'énergie mécanique aux phénomènes thermiques

Amélioration des performances de calcul

algorithme de détection du contact :

améliorer la stratégie de détection du contact

parallélisation du code de calcul :

- niveau 1 : détection du contact
- niveau 2 : résolution du contact
- niveau 3 : résolution des systèmes linéaires

optimisation de la bibliothèque d'objets C++ :

- utilisation du formalisme "templates"